

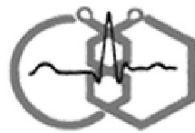
جدا سازی و نمایش سه بعدی یافته‌های نکروز شده سو استخوان ران
با استفاده از تصاویر MRI

ماهان آزادیه - دضا آقامه، آده ظروفه

گ و ه مهندسی، برق و کامپیوتر دانشکده فنی، دانشگاه تهران

چکیده - بیماری نکروز شدن سر استخوان ران (Avascular Necrosis Of Femoral Head) یا ANFH یک بیماری شایع ارتودپیدی می‌باشد. این بیماری در مراحل پیش‌رفته نیاز به عمل جراحی کاشت استخوان دارد. تشخیص بافت‌های نکروز شده در مراحل اولیه بیماری کمک می‌کند تا پژوهشک درمان را آغاز کرده و از پیش‌رفت بیماری و نیاز به عمل جراحی پیشگیری کند. در این مقاله روش جدیدی برای جدا سازی بافت‌های نکروز شده سر استخوان ران از تصاویر MRI ارایه شده است. در این روش ابتدا نواحی سالم سر استخوان را جدا می‌کنیم؛ برای جدا سازی نواحی سالم استخوان سه روشن با هم مقایسه شده اند. سپس سر استخوان را با یک مدل پیشگوی سه بعدی مدل می‌کنیم. پارامترهای مدل را با آنکه پژوهشک بتواند محل و میزان نواحی سالم و نکروز شده را بصورت سه بعدی مشاهده کند، سطح استخوان را توسعه Simulated Annealing آنکه روی مزد نواحی سالم بدست می‌آوریم. بعد از جدا کردن استخوان، برای Marching Cubes بازسازی کرده و آن را بصورت سه بعدی نمایش میدهیم.

کلمات کلیدی - بخش بندي تصوير، نک ور شدن سر استخوان ران، کانتور فعال، نمايش، سه بعدي



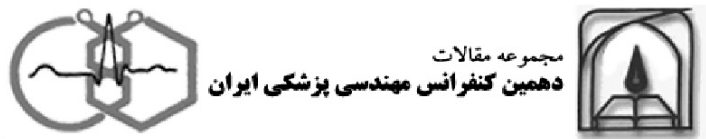
۱- مقدمه

بیماری نکروز شدن بافت‌های استخوانی (Avascular Necrosis) یا AVN بیماری است که در اثر نرسیدن خون به سر استخوانهای بلند و در نتیجه مرگ استخوان ایجاد می‌شود. نکروز شدن سر استخوان ران (Avascular Necrosis Of Femoral Head) یا ANFH یک ضایعه شایع ارتوپدی می‌باشد. تشخیص مراحل اولیه این بیماری بسیار مهم است. زیرا درمان برای مراحل پیش‌رفته بیماری نا موفق بوده و در این موارد باید عمل جراحی کاشت استخوان انجام گیرد. تصاویر MRI بهترین روش غیر تهاجمی (Non Invasive) برای تشخیص AVN است^[2]. بیماری ANFH می‌تواند در مراحل اولیه بیماری بصورت نواحی باشد پایین در تصاویر T1 Weighted در اثر کاهش مغز استخوان آیدار در سر استخوان ران ظاهر شود. بررسی تصاویر MRI در مراحل اولیه بیماری امکان ارزیابی دقیق ANFH و پیشگیری از ریزش (Collapse) بافت و در نتیجه عدم نیاز به عمل جراحی جایگزینی استخوان ران را فراهم می‌کند. هدف نهایی این تحقیق، طراحی یک سیستم تشخیص به کمک کامپیوتر (CAD) برای بیماری ANFH می‌باشد. این سیستم باید شامل ابزار نرم افزاری برای جداسازی ، اندازه گیری و نمایش سه بعدی بافت‌های نکروز شده و نکروز نشده و همچنین بررسی احتمال ریزش سر استخوان ران باشد. در این مقاله جداسازی بافت‌های نکروز شده و نکروز نشده و نمایش سه بعدی استخوان ران انجام گرفته است. پردازش کامپیوتری تصاویر پزشکی بدلیل تغییرات آماری ، مکانی و ساختاری بافت‌ها و اندامهای بدن مساله ای مشکل و موضوع تحقیقات روز است. تصاویر جمع آوری شده از دستگاه MRI به عوامل متعددی شامل کنتراست، رزو لوشن، نسبت سیگنال به نویز، فاصله لایه ها ، ابعاد داده ها و یکنواختی کوبل RF بستگی دارد. لذا جداسازی بافت‌ها از روی تصاویر MRI یکی از مسایل مورد تحقیق در پردازش تصاویر پزشکی بشمار می‌رود . همچنین نمایش سه بعدی (Visualization) بافت‌های استخوانی استخراج شده برای ارزیابی کلینیکی بیماری از اهمیت ویژه ای برخوردار است . در بیماری ANFH ، نمایش سه بعدی استخوان ران امکان میدهد که پزشک بعد از تشخیص نواحی نکروز شده ، بتواند میزان و محل قرار گرفتن آنها را بررسی کرده و با توجه به میزان فشار در آن نقاط ، احتمال ریزش استخوان را ارزیابی کند . در این مقاله روش‌های عملیات باینری، رشد ناحیه ای (Region Growing) و کانتور فعل برای جداسازی نواحی سالم اعمال شده اند در بخش ۲ و ۳ روش‌هایی برای جداسازی بافت‌های سالم و نکروز شده سر استخوان ران معروف می‌کنیم . در بخش ۴ روش پیاده سازی شده برای نمایش سه بعدی (Visualization) را معرفی می‌کنیم . در بخش پنجم نتایج و نتیجه گیری ارایه می‌گردد .

۲- جدا سازی بافت‌های استخوانی

در این قسمت روش‌های جدا سازی بافت‌های استخوانی را توضیح میدهیم .

۱-۲) پیش پردازش



برای دست یابی به سرعت بالاتر و نتیجه بهتر لازم است که عمل پیش پردازش روی مجموعه تصاویر اعمال شود [1]. ابتدا ناحیه مورد نظر را از روی تصاویر جدا کرده و سپس فیلتر median دو بعدی برای کاهش نویز به مجموعه تصاویر اعمال میگردد. در انتها نیز هیستوگرام تصاویر بدست آمده را بین ۰-۲۵۵ نرمالیزه میکنیم؛ روشهای ذکر شده زیر برای جداسازی استخوان ران سالم پیاده سازی شده و کارآیی آنها بر روی تصاویر واقعی MRI سه بعدی بررسی گردیده اند.

۲-۲) عملیات باینری

در تصاویر MRI اکثر نواحی بافت استخوانی دارای شدت روشنایی بالای نسبت به دیگر نواحی تصویر میباشند. بنابر این با اعمال یک آستانه میتوان شدتهای بالای تصویر را تشخیص داد. در این روش ابتدا هیستوگرام مجموعه تصاویر را رسم میکنیم؛ منحنی هیستوگرام دارای دو قله میباشد: پیکسل میانی دو قله بعنوان آستانه باینری در نظر گرفته میشود، بعد از باینری کردن مجموعه تصاویر برای جدا کردن بافت‌های چربی که دارای شدت بالا بوده و ممکنست به استخوان بچسبند، از عملیات مورفولوژیکی erosion و dilation استفاده میکنیم. در مرحله آخر یک پیکسل داخل استخوان (شدت ۲۶) در یکی از تصاویر باینری انتخاب کرده و تمام پیکسلهای مجموعه تصاویر که با همسایگی ۲۶ به این پیکسل متصلند را از تصاویر جدا میکنیم. با بیپیدا کردن لبه‌های تصاویر باینری، مرز استخوان سالم بدست می‌آید.

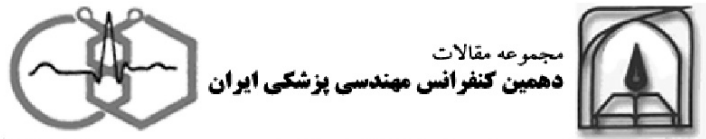
۳-۲) روش ناحیه‌ای Region Growing

اساس روشهای ناحیه‌ای بر این است که شدت پیکسلهای یک ناحیه از تصویر نسبت به یکدیگر اختلاف کمی دارند. در این روش یک ناحیه اولیه را داخل استخوان انتخاب کرده و یک آستانه نیز تعیین میکنیم؛ همسایه‌های پیکسلهای مرزی ناحیه اولیه را امتحان میکنیم. اگر اختلاف شدت این پیکسل با متوسط شدت داخل ناحیه از آستانه تعیین شده کمتر بود، این پیکسل همسایه داخل ناحیه قرار میگیرد. این عمل با ناحیه جدید ادامه میابد تا جایی که هیچ پیکسل همسایه ای شرط داخل ناحیه بودن را راضی نکند. بعْلَت آنکه شدت پیکسلهای داخل استخوان دارای تغییرات زیادی است، عملکرد این روش بسیار به ناحیه اولیه و آستانه انتخاب شده حساس است.

۴-۲) کانتورهای شکل پذیر

مدل مار یا کانتورهای شکل پذیر اولین بار توسط Kass و همکاران معرفی شده است [3]. در این مدل برای هر منحنی کانتور دو انرژی داخلی و خارجی تعریف میگردد. انرژی داخلی مجموع دو جمله است که با مینیمم شدن این انرژی، کانتوری هموار و فاقد گوشه‌های تیز بدست می‌آید. انرژی خارجی با قرار گرفتن منحنی روی لبه‌های جسم در تصویر مینیمم میگردد. با فرض اینکه $V(s)$ بیانگر کانتور باشد انرژی بصورت زیر تعریف میگردد:

$$E_{snake}(v(s)) = \oint (\infty(s)|v'(s)|^2 + \beta(s)|v''(s)|^2 - \gamma |\vec{\nabla} I(V)|) ds \quad (1)$$



با مینیمم کردن مجموع دو انرژی، منحنی که دارای شرایط بالا باشد بدهست می‌آید. برای جلوگیری از یافتن مینیمم محلی، کانتور اولیه باید تا حد امکان به مرز جسم نزدیک باشد. همچنین منحنی نهایی از نظر شکل مشابه منحنی اولیه بوده و تغییرات توپولوژیکی منحنی امکان‌پذیر نمی‌باشد.

Caselles و همکاران مدل مار جدیدی از روی مدل مار اولیه استخراج کرده و آن را مدل مار Geodesic نام نهادند [4]. این مدل به طریق دیگری توسط Kichenassamy و همکاران بدهست آمد [5]. آنها نشان دادند که منحنی که از مینیمم کردنتابع انرژی مدل مار اولیه بدهست می‌آید، معادل بدهست آوردن منحنی تکامل یابنده ایست که در رابطه زیر صدق کند:

$$\frac{\partial C(t)}{\partial t} = g(I)\kappa \vec{N} - (\nabla g \cdot \vec{N})\vec{N} \quad (2)$$

$$g(I) = \frac{1}{1 + |\nabla I|^2} \quad (3)$$

در این رابطه g تابع توقف است که در نقاط با گرادیان بالا سرعت تکامل را کند می‌کند. κ انحنای منحنی و بردار عمود بر منحنی بطرف داخل منحنی است. یعنی منحنی نهایی با تکامل منحنی C طبق رابطه بالا تا وقتی که تغییرات زمانی آن برای صفر شود بدهست می‌آید. برای آنکه رابطه بالا مستقل از پارامترهای منحنی باشد، منحنی C را بعنوان نقاطی که تابع دو بعدی u را صفر می‌کنند (Zero Level Set) در نظر می‌گیریم. بدین ترتیب معادله تکامل منحنی C به معادله تکامل تابع u بصورت زیر تبدیل می‌شود:

$$\frac{\partial u}{\partial t} = g(I)|\nabla u|\kappa + \nabla g(I) \cdot \nabla u \quad (4)$$

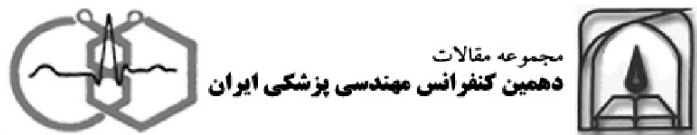
تابع u تا وقتی که تغییرات زمانی آن صفر شود تکامل می‌ابد و منحنی C در هر لحظه مجموعه نقاطی است که u را صفر می‌کنند. منحنی C بدین ترتیب میتواند از نظر توپولوژی کاملاً تغییر کرده و با منحنی اولیه تفاوت داشته باشد. پارامتر دیگری برای افزایش سرعت حرکت تابع میتواند بصورت زیر به معادله اضافه گردد:

$$\frac{\partial u}{\partial t} = g(I)|\nabla u|(c + \kappa) + \nabla g(I) \cdot \nabla u \quad (5)$$

که c یک ثابت مثبت است. برای جداسازی استخوان ران، کانتور اولیه در داخل استخوان تعیین شده و به سمت مرزهای استخوان حرکت می‌کند.

۳- جداسازی یافته‌های نکروز شده سر استخوان ران

نکروز شدگی میتواند در قسمتهای مختلف سر استخوان ظاهر شود. اگر نکروز شدگی فقط در داخل استخوان بوده و مرز سر استخوان سالم باشد، در اینحالت مرز سالم استخوان را طبق روش جدا سازی استخوان سالم که در بالا ذکر شد



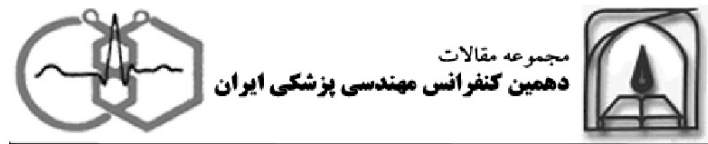
جدا میکنیم . با توجه به اینکه بافت‌های نکروز شده استخوان دارای شدت کمتری نسبت به بافت‌های سالم میباشند ، نواحی شدت پایین داخل مرز استخوان ، نواحی نکروز شده میباشند . اگر نکروز شدگی در مرز سر استخوان باشد ، قسمت‌هایی از مرز سر استخوان در نواحی نکروز شده از زمینه تصویر قابل تشخیص نیست . مخصوصاً اگر میزان نکروز شدگی زیاد باشد ، باز سازی مرز استخوان سالم اولیه از روی تصاویر دو بعدی با روش‌های موجود بسیار مشکل است . با بررسی شکل سه بعدی سر استخوان ران ، به این ترتیج رسیدیم که سر استخوان را میتوان با یک بیضیگون شبیه تخم مرغ مدل کرد . دیده شد که در تصاویر coronal ، مقطع بیضیگون در هر لایه به دایره نزدیک است . در این حالت بیضیگون با پنج پارامتر شامل مختصات مرکز ، شعاع در مقاطع دایروی و شعاع Simulated Annealing استفاده کرده ایم . تابع هدف بصورت زیر تعریف میگردد :

$$\sum \exp(-I_i) \quad (6)$$

که ، فاصله نقطه آلم روی مرز تصویر با بنزی از بیضیگون است . با ماکریم کردن تابع هدف ، بیضیگونی اختخاب میشود که فاصله آن تا مرز استخوان مینیمیم باشد . با این تابع هدف ، اگر نکروز شدگی در تعدادی از لایه ها زیاد باشد ، پارامترهای بیضیگون از روی لایه های سالم‌تر بدست می‌آیند . میتوان حدود پارامترهای مدل را از روی لایه های سالم تشخیص داده و بدین ترتیب فضای جستجوی آلگوریتم را کاهش داد .

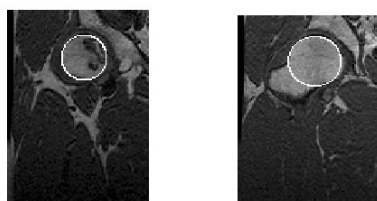
۴ نمایش سه بعدی بافت‌های جدا شده استخوان

برای نمایش سه بعدی ، پیکسلهای سطحی بافت مورد نظر را از روی تصاویر مقطعی استخراج کرده و سطح آن را با تعداد ریادی مثلث کوچک تقریب میزنیم (Surface Extraction) . برای بدست آوردن المان سطح از آلگوریتم Marching Cubes استفاده شده است [7] . در این روش ابتدا هر دو لایه مجاور از تصویر را گرفته و پیکسلهای همسایه که راسهای یک مکعب باشند را برسی میکنیم . برای هر مکعب یک رجیستر ۸ بیتی تشکیل میدهیم . برای هر راسی که داخل سطح باشد و اگر خارج سطح باشد مقدار ۰ در بیت متناظر آن در رجیستر قرار میدهیم . بدین ترتیب در کل ۳۵۶ حالت تلاقی سطح و مکعب وجود دارد . با در نظر نگرفتن حالات مشابهی که از دوران مکعب بدست آمده یا نسبت به هم متقاضند ، ۱۴ حالت مختلف وجود دارد . برای هر کدام از این حالتها نحوه اتصال نقاط و تولید مثلثهای صحیح را در یک جدول قرار میدهیم . اگر تمام بیت‌ها یک یا صفر باشند ، سطح بافت ، مکعب را قطع نمیکند . در غیر اینصورت نقاط تلاقی مکعب و سطح را پیدا کرده و با توجه به جدول تولید شده مثلثها را ایجاد میکنیم . برای هر راس مثلث بردار عمود را در جهت گرادیان آن نقطه در تصویر قرار میدهیم . برای محاسبه گرادیان نقطه راس مثلث ، گرادیان دو پیکسل راس مکعب که این نقطه بین آنها قرار دارد را حساب کرده و گرادیان نقطه میانی را با تقریب خطی گرادیانهای دو پیکسل بدست می‌آوریم . بعد از پیدا کردن مثلثها و بردار عمود هر راس آن ، مثلثها را با استفاده از کتابخانه OpenGL رسم میکنیم [7] .



۵) نتایج و نتیجه گیری

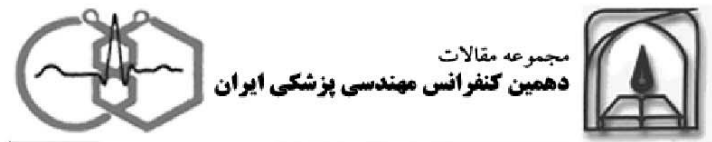
آلگوریتم های مطرح شده در بخش های قبل بر روی ۷۰ دسته از مجموعه تصاویر MRI لگن، شامل یک استخوان ران (مجموعاً حدود 70×50 تصویر دو بعدی) بررسی شد. نتایج نشان میدهد که مدل پیضیگون پیشنهادی برای سر استخوان مدل بسیار مناسبی بوده است. در شکل ۱ مدل بدست آمده برای دو قطع سالم و بیمار دیده میشود. در شکل ۲ قسمتهای سالم و نکروز شده سر استخوان ران بصورت سه بعدی نمایش داده شده است. در جدول ۱ نتایج اعمال سه روش بخش بندی بر روی ۵ دسته استخوان سالم آمده است. همانطور که دیده میشود روش عملیات باینری نسبت به دو روش دیگر بهتر عمل میکند.



شکل (۱) - مدل بدست آمده برای سر استخوان در دو حالت استخوان سالم و نکروز شده

جدول ۱ - نتایج اعمال روش های مختلف بر روی داده های سالم

	داده ۱	داده ۲	داده ۳	داده ۴	داده ۵
عملیات باینری	خوب	خوب	خوب	خوب	خوب
Region Growing	خوب	خوب	متوسط	متوسط	خوب
Snake	خوب	متوسط	ضعیف	ضعیف	خوب



شکل (۲) - نمایش سه بعدی بافت‌های سالم و نکروز شده سر استخوان ران

فهرست مراجع -

1. R.A.Zoroofi , T.Nishii , Y.Sato , N.Sugano , H.Yoshikawa , S.Tamura , “Segmentation of Avascular Necrosis of Femoral Head Using 3-D MR Images ” , Computerized Medical Imaging and Graphics [in press] , 2001
2. <http://www.mri.jhu.edu/>
3. M.Kass , A.Witkin , D.Terzopoulos , “Snakes:Active Contour Models”, Int'l Journal Comp. Vision , 1(4):321-331 , 1988
4. V.Caselles , R.Kimmel , G.Sapiro , “Geodesic Active Contours ” , Int'l Journal Comp. Vision , 22(1):61-79 , 1997
5. A.Kichenassamy , A.Kumar , P.Olver , A.Tannenbaum , A.Yezzi , “Gradient Flows and Geometric Active Contour Models” , Proc. IEEE Int'l Conf. Comp. Vision , 810-815 , 1995
6. W.E.Lorensen , H.E.Cline , “Marching Cubes : A High Resolution 3D Surface Construction Algorithm” , Computer Graphics , 21(4):163-169 , 1987
7. OpenGL Programming , <http://www.sgi.org>
8. MEDAL Software : <http://www.image.med.osaka-u.ac.jp/reza/medal.html>